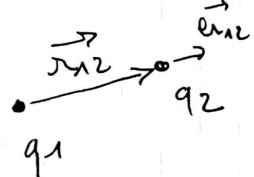


CORRIGÉ DS 9 : ELECTROMAGNÉTISME

PROBLÈME (1) : Gravitation et Pesanteur.

Partie I. A) Champ de gravitation terrestre

I. A) 1)



$$\text{Interaction coulombienne: } \vec{F}_{1/2}^e = \frac{1}{4\pi\epsilon_0} \frac{q_1 q_2}{r_{12}^3} \vec{r}_{12}$$

$$\text{ou bien: } \vec{F}_{1/2}^e = \frac{1}{4\pi\epsilon_0} \frac{q_1 q_2}{r_{12}^2} \cdot \vec{e}_{12}$$

Par définition du champ $\vec{E}_{1/2} = \vec{E}$ champ électrique régnant en (2) et créé par la charge q_1 : $\vec{E} = \vec{E}_{1/2} = \frac{\vec{F}_{1/2}^e}{q_2} = \frac{1}{4\pi\epsilon_0} \frac{q_1}{(r_{12})^2} \vec{e}_{12}$

et donc de façon générale avec q placé à l'origine du repère

$$\left[\vec{E}(M) \right]_q = \frac{q}{4\pi\epsilon_0 r^2} \vec{e}_r$$

2) "Enoncer": le flux sortant du champ électrostatique au travers d'une surface fermée vaut la charge intérieure au volume englobé par cette surface divisé par la permittivité du vide.

$$\oint_{S(r)} \vec{E} \cdot d\vec{S}_{\text{sortant}} = \frac{Q_{\text{int}}(V)}{\epsilon_0}$$

3) $\vec{F}_{1/2}^g = -G \frac{m_1 m_2}{r_{12}^3} \vec{r}_{12}$ (avec les mêmes notations qu'en I.A.1)

et donc: $\vec{G} = -\frac{G m}{r^3} \vec{r} = -\frac{G M}{r^2} \vec{e}_r$

⇒ le champ gravitationnel créé par une masse ponctuelle m placée à l'origine O du repère.

4) électrostatique (cavité)

gravitation (NEWTON)

$$\frac{q^e}{F_{1/2}}$$

$$\frac{m}{F_{1/2}^g}$$

$$\frac{1}{4\pi\epsilon_0}$$

$$-G$$

$$\vec{E}$$

$$\vec{G}$$

$$\vec{E} = -\nabla V$$

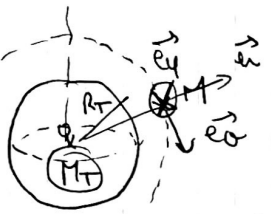
$$E_{P(q)} = q' V \rightarrow E_{P(m')} = m' \phi + C$$

Th de "Gauss" gravitationnel

$$\oint_{S(r)} \vec{G} \cdot d\vec{S}_{\text{sortant}} = -4\pi G M_{\text{int}}(V)$$

potentiel de gravitation.

I.A.5) a)



$$\left\{ \begin{array}{l} \rho_T = \frac{dm}{dV} = \text{cte} \\ \rho_T = \frac{M_T}{\frac{4}{3}\pi R_T^3} \end{array} \right.$$

phère d'intégration
du flux
de rayon $r > R_T$

$\textcircled{2} \quad r > R_T : \quad$ On applique Gauss gravitationnel

$$\oint \vec{G}_T \cdot d\vec{S}_{\text{ext}} = -4\pi G_F M_T$$

$$S(r) \equiv$$

sur toute
phère fermée de
rayon r
intérieure à
ma surface d'intégration

Invariances et symétries :

→ situation du point M
invariante par modification de θ et ϕ
→ dépendance seulement à (r)

→ Tout plan contenant \vec{OM} est 1 plan de symétrie
de la distribution des masses
(en particulier les deux plans: $(M, \vec{e}_r, \vec{e}_\theta)$)

→ donc $G_T(M)$ doit appartenir à ces plans (car d'après le principe de Cuvier, il s'agit aussi de plans de symétrie des effets (ici G_T qui est le champ vectoriel polarisé))

Ainsi: $\vec{G}_T = G_T(r) \vec{e}_r$

les vecteurs surface instantanés s'écrivent: $d\vec{S}_{\text{ext}} = r^2 \sin\theta d\theta d\phi \vec{e}_\theta$
(de la sphère)

ainsi: $\oint \vec{G}_T \cdot d\vec{S}_{\text{ext}} = \int_{S(r)} \int_{\theta=0}^{\theta=\pi} \int_{\phi=0}^{2\pi} G_T(r) r^2 \sin\theta d\theta d\phi$

$$= \left(\int_{\theta=0}^{\theta=\pi} \sin\theta d\theta \right) \times G_T(r) \times r^2$$

$$= 4\pi r^2 G_T(r)$$

devant égaler $-4\pi G_F M_T$

ainsi: $\boxed{G_T(r) = -\frac{G_F M_T}{r^2}}$

$\textcircled{2} \quad r < R_T$

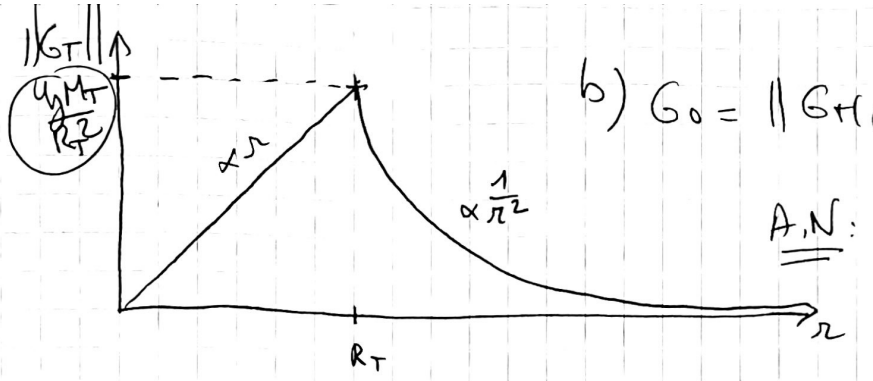
$$4\pi r^2 G_T(r) = -4\pi G_F M_T$$

$$r^2 G_T(r) = -G_F \rho_T \times \frac{4}{3}\pi r^3 = -G_F \frac{M_T}{\frac{4}{3}\pi R_T^3} \times \frac{4}{3}\pi r^3$$

$$r^2 G_T(r) = -\frac{G_F M_T r^3}{R_T^3}$$

on enfin: $\boxed{G_T(r) = -\frac{G_F M_T r}{R_T^3}}$

On remarque au passage la continuité de $G_T(r)$ en $r=R_T$.



$$b) G_0 = \|G_T(R_T)\| = \frac{U_f M_T}{R_T^2}$$

$$\underline{\underline{A.N.:}} \quad G_0 = \frac{6,67 \cdot 10^{-11} \times 5,98 \cdot 10^{24}}{(6,38 \cdot 10^6)^2}$$

attention!
(distances en m!)

$$\underline{\underline{A.N.:}} \quad G_0 = 0,980 \times 10^1 = 9,80 \text{ N} \cdot \text{kg}^{-1}$$

ou bien $\text{m} \cdot \text{s}^{-2}$.

c) Si la masse n'est pas uniformément répartie mais lorsque la symétrie sphérique de la distribution des masses est préservée alors seule la masse intérieure totale de la sphère intérieur dans l'obtention de $G_T(R_T)$. Ainsi ce champ de gravitation à la surface est inchange. $\boxed{G_T(R_T) = G_0 = \frac{U_f M_T}{R_T^2}}$.

d) Le noyau est la partie comprise entre $0 \leq r \leq R_1$ dans le modèle proposé: on retrouve 1 champ gravitationnel proportionnel à $r \leq R_1$ qui correspondrait en effet à une modélisation de masse volumique uniforme.

Rq: on peut aussi utiliser $\boxed{\text{div } \vec{G}_T = -4\pi U_f \rho(r)}$.
(Champ gravitationnel local)

en symétrie sphérique:

$$\text{div } \vec{G}_T = \frac{1}{r^2} \frac{\partial (r^2 G_T)}{\partial r}$$

$$\text{donc si } \rho(r) = \frac{\rho_0}{r^3} \text{ alors}$$

$$\begin{aligned} -4\pi U_f \rho_0 &= \frac{1}{r^2} \frac{\partial (r^2 G_T)}{\partial r} \\ r^2 G_T(r) &= -4\pi U_f \rho_0 \frac{r^3}{3} + C_0 \\ \Rightarrow G_T(r) &\text{ proportionnel à } \underline{\underline{r}}. \end{aligned}$$

L'obtention (P_0) dans le noyau:

$$G_0 = \frac{U_f M_N}{(R_1)^2} \quad (\text{par analogie avec le calcul I.A.5.b}).$$

$$\text{avec } M_N = \rho_0 \times \frac{4}{3}\pi (R_1)^3 \quad \text{donne: } G_0 = \frac{U_f M_N}{R_1^2} = \rho_0 \frac{4}{3}\pi \frac{R_1^3}{R_1^2} U_f$$

$$\text{soit: } \rho_0 = \frac{36}{4\pi R_1^4 U_f}$$

ou encore en fonction des données de l'énoncé

$$\rho_0 = \frac{3}{4\pi R_1^4 U_f} \times \frac{U_f M_T}{(R_T)^2} = \frac{3 M_T}{4\pi R_1^4 (R_T)^2} \approx 10 \text{ tonnes/m}^3$$

e) Si le champ de gravitation ne varie pas avec r alors le calcul de la divergence donne :

$$\operatorname{div}(\vec{G}_0 \vec{e}_r) = \frac{1}{r^2} \frac{\partial(r^2 G_0)}{\partial r} = -\frac{G_0}{r} = -4\pi G_F \rho(r)$$

soit : $\rho(r) = \frac{G_0}{2\pi G_F r} = \frac{M_T}{2\pi R_T^2 r}$. décroissante de r

I. B] le champ de pesanteur terrestre.

1) Un référentiel galiléen est un référentiel dans lequel les lois de Newton sont vérifiées. A commencer par le principe de l'inertie qui les définit.

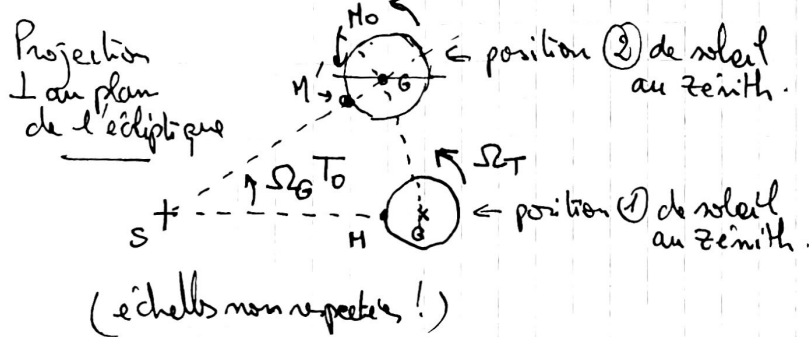
"Dans un référentiel galiléen, tout système isolé (ou pseudo-isolé : $\sum \vec{F} = \vec{0}$; $\sum \vec{M} = \vec{0}$) aura un mouvement tel que son centre de masse sera en translation rectiligne uniforme"

→ le référentiel géocentrique est associé à un repère ayant pour origine le centre de masse du globe terrestre et des axes fixes dans le référentiel héliocentrique ("vivant des étoiles fixes"). C'est-à-dire qu'il s'agit d'un observateur "fictif" placé au centre de la Terre mais ne tournant pas avec elle lors de sa révolution quotidienne autour de l'axe des pôles.

→ Un référentiel terrestre au contraire correspond à l'observateur fixe à la surface du globe à un latitude donnée. Il tourne donc dans le référentiel géocentrique.

Rq : le référentiel géocentrique est souvent approximé galiléen mais dans ce cas le référentiel terrestre ne peut l'être car leur mouvement relatif sur le mouvement de rotation sensiblement uniforme autour de l'axe des pôles.

2) C'est la translation circulaire annuelle de la Terre dans sa course autour du soleil dans le plan de l'écliptique qui est responsable de cette différence.



en T_0 on a dépassé la durée du jour sidéral qui correspondrait à la position finale Ω_0

C'est la période de rotation de la Terre autour de son axe des pôles

$$\Rightarrow \Omega_T \times T = 2\pi.$$

Sur la durée T_0 , l'angle parcouru dépasse 2π de $\Omega_G T_0$, soit:

$$\Omega_T T_0 = 2\pi + \Omega_G T_0 = \Omega_T T + \Omega_G T_0$$

$$\text{ou: } \Omega_T (T_0 - T) = \Omega_G T_0.$$

$$T_0 - T = \frac{\Omega_G}{\Omega_T} T_0 \approx \frac{1}{365} \times 24 \text{ heures.}$$

$$[T_0 - T \approx 4 \text{ minutes.}]$$

I.B.3] Dans le référentiel terrestre on doit tenir compte de la force d'inertie centrifuge (donnée en ANNEXE) dans la force de pesanteur pour "faire comme si" le référentiel terrestre était galiléen ! (en fait il y aurait évidemment d'autres corrections !)

En posant ceci on a:

$$\vec{g} = G_T(R_T) \vec{e}_r + \frac{\vec{F}_{ic}}{m} = G_T(R_T) \vec{e}_r + \Omega^2 \vec{e}_{\theta \rho}$$

avec donc: $\rho = R_T \cos \lambda$.

$$\vec{g} = G_T(R_T) \vec{e}_r + \Omega^2 R_T \cos \lambda \vec{e}_\rho$$

soit en utilisant: $\vec{e}_\rho = \cos \lambda \vec{e}_r + \sin \lambda \vec{e}_\theta$

$$\vec{g}_{eq} = (G_T(R_T) + \Omega^2 R_T \cos^2 \lambda) \vec{e}_r + \Omega^2 R_T \cos \lambda \sin \lambda \vec{e}_\theta$$

Exprimons la norme de \vec{g} :

$$\sqrt{(G_0 + \Omega^2 R_T \cos^2 \lambda)^2 + (\Omega^2 R_T \cos \lambda \sin \lambda)^2} \equiv g$$

$$-\frac{G_0}{R_T^2}$$

I.B.4] $\lambda = \pm \frac{\pi}{2} \Rightarrow \cos \lambda = 0 \Rightarrow g = G_0 = \frac{GM_0}{R_T^2} = 9,8 \frac{m.s^{-2}}$

$$\lambda = 0 \Rightarrow g = G_0 - \Omega^2 R_T = 9,80 - 0,034 \quad \left. \begin{array}{l} \text{verticale} \\ \text{non radiale!} \end{array} \right\} 2,977 m.s^{-2}$$

I.B.5] $g = 0 \text{ m} \cdot \Omega^* = \sqrt{\frac{G_0}{R_T}} = \sqrt{\frac{GM_0}{R_T^3}} \approx 1,26 \cdot 10^{-3} \text{ rad/s}$

soit la période $T^* = \frac{2\pi}{\Omega^*} \approx 1,4 \text{ h}$ (compte journée !).

CORRIGÉ DS 8 : Electromagnétisme

EXERCICE ① : Règle de PENNING.

ATTENTION !

Partie ① : ④. La force de LORENTZ s'exerçant sur l'électron se limite à : $\vec{F} = -q(\vec{v}_A \wedge \vec{B})$ (autres forces négligées)

Elle est donc perpendiculaire à \vec{B} et donc à \vec{v}_A .

Aucune composante de force sur $\vec{v}_A \Rightarrow$ aucune accélération.

La particule gardera donc sa composante de vitesse v_{Az} inchangée.

et $v_z(t) = v_{Az} t$ (elle a l'origine à $t=0$).

⑤ - 1) le PFD appliquée à l'électron donne dans les directions Ox et Oy :

$$\begin{cases} m \ddot{v}_x = -q v_y B \\ m \ddot{v}_y = +q v_x B \end{cases}$$

ou $\begin{cases} \ddot{v}_x = -\omega_e v_y \\ \ddot{v}_y = +\omega_e v_x \end{cases}$

car $\vec{v}_A \wedge \vec{B} = \begin{vmatrix} v_x & v_y & 0 \\ v_y & v_z & 0 \\ v_z & 0 & B \end{vmatrix}$

$$\vec{v}_A \wedge \vec{B} = \begin{pmatrix} v_y B \\ -v_x B \\ 0 \end{pmatrix}$$

ATC.

soit en décomplant par dérivation supplémentaire :

$$\begin{cases} \ddot{v}_x = -\omega_e \ddot{v}_y = -\omega_e^2 v_x \\ \ddot{v}_y = -\omega_e^2 v_x \end{cases}$$

Ces deux vitesses (composantes) sont donc des fonctions sinusoidales du temps de pulsation $\omega_e = \frac{qB}{m_e}$. Avec les conditions initiales on aura : $v_x(0) = v_{0x} \cos(\omega_e t)$

$$\begin{cases} v_y(t) = \frac{\ddot{v}_x}{-\omega_e} = +v_{0y} \sin(\omega_e t) \end{cases}$$

⑤ - 2) Par intégration et en rappelant que $x(0) = y(0) = 0$

$$\begin{cases} x(t) = \frac{v_{0x}}{\omega_e} \sin(\omega_e t) = \frac{v_{0x}}{\omega_e} \times \sin(\omega_e t) \end{cases}$$

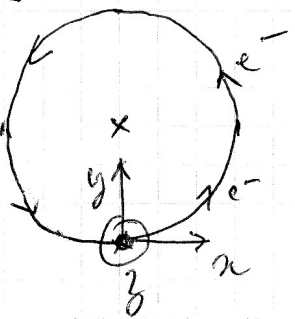
$$\begin{cases} y(t) = -\frac{v_{0x}}{\omega_e} \cos(\omega_e t) + \frac{v_{0y}}{\omega_e} = \frac{v_{0x}}{\omega_e} [\cos(\omega_e t) + 1] \end{cases}$$

⑤ - 3) Notons $r_H = \frac{v_{0x}}{\omega_e}$

$$\frac{x^2}{r_H^2} + \frac{(y - r_H)^2}{r_H^2} = 1$$

équation cartésienne d'un cercle de rayon r_H centré en H $H(0, +r_H)$

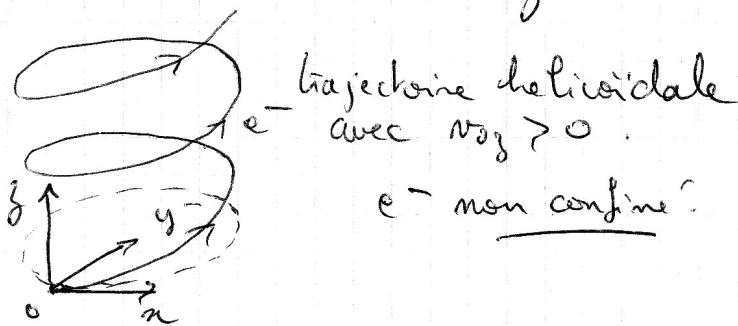
On a naturellement : $f_e = \frac{we}{2\pi} = \frac{qB}{2\pi m}$



I. O - $f_e = \frac{1,6 \cdot 10^{-19} \times 1,0}{2\pi \times 9,1 \cdot 10^{-31}}$

$f_e = 1,8 \cdot 10^{10} \text{ Hz}$
ou 28 GHz

I. B] la trajectoire précédente n'était que la projection sur le plan x, y . On ajoute donc la translation rectiligne uniforme dans la direction z .



II] A] $U(x_0, y_0, z_0) = \alpha_0 + \alpha_1 (x^2 + y^2) + \alpha_2 z^2$

$$U(r, \theta, z) = \alpha_0 + \alpha_1 r^2 + \alpha_2 z^2 \quad [\text{r des cylindriques}]$$

A. 1] le potentiel doit satisfaire à l'équation de LAPLACE dans la zone "vide de charge": $\Delta U = 0$

s'écrit en cartésiennes: $\frac{\partial^2 U}{\partial x^2} + \frac{\partial^2 U}{\partial y^2} + \frac{\partial^2 U}{\partial z^2} = 0$

A. 2] $\left. \begin{array}{l} \frac{\partial^2 U}{\partial x^2} = 2\alpha_1 \\ \frac{\partial^2 U}{\partial y^2} = 2\alpha_1 \\ \frac{\partial^2 U}{\partial z^2} = 2\alpha_2 \end{array} \right\} \text{Laplace} \Rightarrow 2\alpha_1 + \alpha_2 = 0$
 $\boxed{\alpha_2 = -2\alpha_1}$

A. 3] le potentiel des électrodes E_{A_1} et E_{A_2} est nul donc

$$0 = \alpha_0 + \alpha_1 (2z^2 - 2z_0^2) - 2\alpha_1 z^2$$

$$\Rightarrow 0 = \alpha_0 - 2\alpha_1 z_0^2 \Rightarrow \alpha_1 = \frac{\alpha_0}{2z_0^2}$$

le potentiel de l'électrode latérale est $V_0 > 0$ donc:

$$0 < V_0 = \alpha_0 + \frac{\alpha_0}{2z_0^2} (z_0^2 + 2z^2) - 2 \frac{\alpha_0}{2z_0^2} z^2$$

$$\text{Ainsi : } 0 < V_0 = \alpha_0 \left(1 + \frac{r_0^2}{2z_0^2} \right) = \alpha_0 \left(\frac{4d^2}{2z_0^2} \right) = \alpha_0 \frac{2d^2}{z_0^2}$$

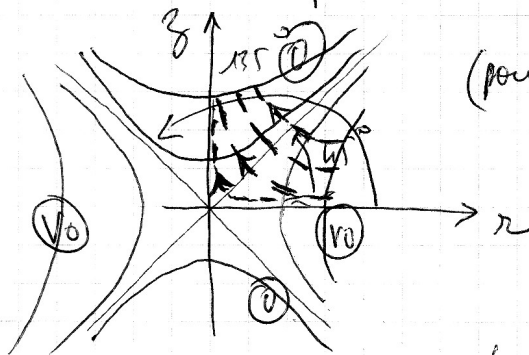
de telle façon que : $\alpha_0 = \frac{V_0 z_0^2}{2d^2}$

$$\text{et } V(r, z) = \frac{V_0 z_0^2}{2d^2} \left(1 + \frac{r^2}{2z_0^2} - \frac{z^2}{z_0^2} \right)$$

$$\text{ou bien } V(r, z) = \frac{V_0 z_0^2}{2d^2} + \frac{V_0}{4d^2} [r^2 - 2z^2]$$

Seul potentiel compatible avec l'équation de Laplace et les conditions aux limites spatiales (de type DIRICHLET) données par les électrodes à potentiel uniforme.

II. A.4]



$$\begin{aligned} (\text{pour } r = \pm \sqrt{2}z \Rightarrow V(\pm r, z) = V(0, 0) \\ = \frac{V_0 z_0^2}{2d^2}) \end{aligned}$$

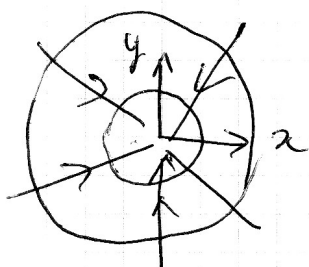
angles
de $\pm \frac{\pi}{4}$ ou $\pm \frac{3\pi}{4}$

(les lignes de champ \vec{E} (en pointillés) sont toujours \perp aux équipotentiels (sens de V_0 vers 0)).

II. A.5] Plan (xOy)

$$\text{équipotentiels} \Rightarrow r^2 = 2z^2 + \text{cte}$$

\downarrow
 $\text{cte dépendant de l'équipotentielle}$



\rightarrow plan contenant l'origine $\Rightarrow z = 0$

\Rightarrow lignes de champ radiales semblant "rejoindre en O" où le champ \vec{E} est donc nul.

II. A.6] En électrostatique : $\vec{E} = -\vec{\text{grad}} V = \begin{pmatrix} -\frac{\partial V}{\partial x} \\ -\frac{\partial V}{\partial y} \\ -\frac{\partial V}{\partial z} \end{pmatrix} / (\vec{e}_x, \vec{e}_y, \vec{e}_z)$

$$\left\{ \begin{array}{l} E_x = -\frac{\partial V}{\partial x} = -\frac{V_0 x}{2d^2} \\ E_y = -\frac{V_0 y}{2d^2} \\ E_z = +\frac{V_0 z}{d^2} \end{array} \right.$$

cohérent avec
le tracé précédent
et la nullité du champ à
l'origine.

II.B) 1] Cette fois la seule force s'exerçant sur l'électron est la composante électrostatique de Lorentz :

$$\vec{F} = -q \vec{E}$$

← toujours pour l'électron.

La RFD donne pour l'élect. :

$$\begin{cases} m\ddot{x} = -qE_x = \frac{qV_0 z}{2d^2} \\ m\ddot{y} = \frac{qV_0 y}{2d^2} \\ m\ddot{z} = -\frac{qV_0 z}{d^2} \end{cases} \quad \text{ou} \quad \begin{cases} \ddot{x} = \frac{\omega_0^2}{2} x \\ \ddot{y} = \frac{\omega_0^2}{2} y \\ \ddot{z} = -\omega_0^2 z \end{cases}$$

B. 2) équation de l'oscillateur harmonique sur z

avec naturellement $\omega_0 = \frac{\omega_0}{2\pi}$

B. 3) A.N : $\omega_0 = \frac{1}{2\pi} \sqrt{\frac{1,6 \cdot 10^{11}}{3,1 \cdot 10^{-31} \times 17 \cdot 10^{-6}}} \quad \left(d^2 = \frac{\omega_0^2 + z_0^2}{4} \right)$

$$\omega_0 \approx 1,0 \cdot 10^8 \text{ Hz.}$$

$$\omega_0 = 0,10 \cdot 10^8 \text{ Hz.} \ll 1 \text{ e} \quad (\text{facteur } 280)$$

$$d = \frac{\sqrt{3^2 + 2^2}}{2} \cdot 10^{-3} \text{ m.}$$

B. 4] Dans le plan (Oxy) les fonctions $x(t) + iy(t)$ sont hyperboliques et donc possèdent des branches infinies.
 ⇒ mouvement non borné?

III) 4] Nouvelles équations différentielles par la RFD :

$$\begin{cases} m\ddot{x} = q \frac{V_0 x}{2d^2} - q y \ddot{B} \\ m\ddot{y} = q \frac{V_0 y}{2d^2} + q \dot{x} \ddot{B} \\ m\ddot{z} = -q \frac{V_0 z}{d^2} \end{cases}$$

mais en utilisant les pulsations

$$\omega_e \text{ et } \omega_0$$

$$\begin{cases} \ddot{x} + \omega_0^2 x - \frac{\omega_0^2}{2} x = 0 & (1) \\ \ddot{y} - \omega_0^2 y - \frac{\omega_0^2}{2} y = 0 & (2) \\ \ddot{z} + \omega_0^2 z = 0 \end{cases}$$

III) b) équation non modifiée \rightarrow oscillations harmoniques sur Oz.

III) c) $\ddot{u} = x + iy$

on écrit alors l'équation complexe combinée linéaire de (ℓ) et (f) : $(\ell) + i(f)$

$$(\ddot{x} + i\ddot{y}) - i\omega_e (\dot{x} + i\dot{y}) - \frac{\omega_0^2}{2} (x + iy) = 0$$

$$\text{soit } \ddot{u} - i\omega_e \dot{u} - \frac{\omega_0^2}{2} u = 0$$

2) L'équation du second degré caractéristique de cette équation différentielle sans second membre est:

$$\lambda^2 - i\omega_e \lambda - \frac{\omega_0^2}{2} = 0$$

$$\text{dont les racines sont: } \lambda = \frac{i\omega_e \pm \sqrt{-\omega_e^2 + 2\omega_0^2}}{2}$$

Pour avoir des trajectoires harmoniques, il faut trouver des solutions harmoniques (minuscules) soit des exponentielles imaginaires du temps où les racines doivent être imaginaires pures $\Rightarrow 2\omega_0^2 - \omega_e^2 < 0 \Leftrightarrow \omega_e > \sqrt{2}\omega_0 \equiv \underline{\omega_e}$

qui se traduit par:

$$\omega_e = \frac{qB}{m} > \sqrt{2} \times \sqrt{\frac{qV_0}{mdc}}$$

$$\left[B > \sqrt{\frac{2mV_0}{qdc}} \right] = B_0$$

3) f_0 calculé étant en effet $\gg f_0$

$$\Rightarrow \lambda = \frac{i\omega_e \pm i\omega_e \sqrt{1 - \frac{2\omega_0^2}{\omega_e^2}}}{2} \approx \frac{i\omega_e [1 \pm (1 - \frac{\omega_0^2}{\omega_e^2})]}{2}$$

$$\left| \begin{array}{l} \lambda_1 = \frac{i\omega_e \times \frac{\omega_0^2}{\omega_e^2}}{2} = i \underbrace{\frac{\omega_0^2}{2\omega_e}}_{\text{dr}} = i\underline{\omega_1} \\ \lambda_2 \approx i\omega_e = i\underline{\omega_2} \end{array} \right.$$

$$u(t) = A_1 e^{i\omega_1 t} + A_2 e^{i\omega_2 t} = A_1 e^{\frac{i\omega_0^2}{2\omega_e} t} + A_2 e^{i\omega_2 t}$$

$$\text{III.C.4) A.N} \quad f_1 = \frac{\omega_0^2}{2\pi(2\omega_e)} = \frac{f_0^2}{2\omega_e} \approx 1,9 \cdot 10^5 \text{ Hz} = 0,19 \text{ MHz}$$

$$f_2 = f_e = 28 \text{ GHz}.$$

III.C.5)

$$\underline{u} = x + iy$$

$$\text{et } e^{i\omega_1 t} = \cos(\omega_1 t) + i \sin(\omega_1 t)$$

$$e^{i\omega_2 t} = \cos(\omega_2 t) + i \sin(\omega_2 t)$$

donc :

$$\begin{cases} x(t) = A_1 \cos(\omega_1 t) + A_2 \cos(\omega_2 t) \\ y(t) = A_1 \sin(\omega_1 t) + A_2 \sin(\omega_2 t) \end{cases}$$

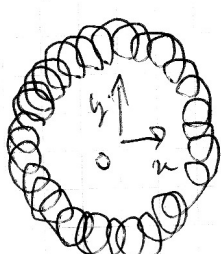
circulaire
dans le plan
Oxy
de pulsation ω_1
circulaire
dans le plan
Oxy
de pulsation ω_2

III.D) le mouvement oscillatoire harmonique dans la direction 3 a pour fréquence $f_0 = 0,16 \text{ Hz} = 100 \text{ MHz}$.

$$\text{donc } f_2 \gg f_0 \gg f_1$$

On nous affirme que $A_2 \ll A_1$ donc l'amplitude (rayon) du mouvement circulaire projete de grande fréquence (f_2) correspond à des trajectoires de faible rayon et celui à (f_1) correspond à 1 cercle moyen décrit nettement + lentement mais de rayon + élevé.

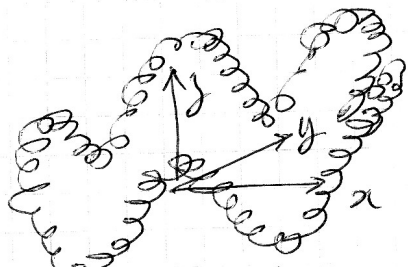
Projection dans le plan Oxy



$$\frac{28000}{0,1} \approx 160000$$

petit
boucle
dans le
rayon

En 3D



bon j'admettrais que
c'est illisible

(voir l'image d'accueil de mon site !)

PROBLÈME (3) : Réflexion d'une O.P.P.T sur 1 conducteur parfait.

Première PARTIE: propagation dans le vide.

$$1^{\circ}) \quad \operatorname{div} \vec{E}(M,t) = \frac{\rho(M,t)}{\epsilon_0} \quad \vec{\operatorname{rot}} \vec{E}(M,t) = - \frac{\partial \vec{B}(M,t)}{\partial t}$$

$$\operatorname{div} \vec{B}(M,t) = 0 \quad \vec{\operatorname{rot}} \vec{B}(M,t) = \mu_0 \vec{j}(M,t) + \epsilon_0 \mu_0 \frac{\partial \vec{E}(M,t)}{\partial t}$$

En l'absence de charges et de courants : $\begin{cases} \rho(M,t) = 0 \\ \vec{j}(M,t) = 0 \end{cases}$

$$\Rightarrow \begin{cases} \operatorname{div} \vec{E} = 0 & \vec{\operatorname{rot}} \vec{E} = - \frac{\partial \vec{B}}{\partial t} \\ \operatorname{div} \vec{B} = 0 & \vec{\operatorname{rot}} \vec{B} = \epsilon_0 \mu_0 \frac{\partial \vec{E}}{\partial t} \end{cases}$$

$$2^{\circ}) \quad \vec{\operatorname{rot}}(\vec{\operatorname{rot}} \vec{E}) = \vec{\operatorname{grad}}(\operatorname{div} \vec{E}) - \vec{\nabla}^2 \vec{E}$$

donc : $\vec{\operatorname{grad}}(\operatorname{div} \vec{E}) - \vec{\nabla}^2 \vec{E} = \vec{\operatorname{rot}}\left(-\frac{\partial \vec{B}}{\partial t}\right) = -\frac{\partial}{\partial t}(\vec{\operatorname{rot}} \vec{B})$

$$= -\frac{\partial}{\partial t}\left(\mu_0 \epsilon_0 \frac{\partial \vec{E}}{\partial t}\right).$$

$$\text{soit } \boxed{\vec{\nabla}^2 \vec{E} - \mu_0 \epsilon_0 \frac{\partial^2 \vec{E}}{\partial t^2} = \vec{0}}$$

et de la m^e façon :

$$\vec{\operatorname{rot}}(\vec{\operatorname{rot}} \vec{B}) = \vec{0} - \vec{\nabla}^2 \vec{B} = \vec{\operatorname{rot}}\left(\epsilon_0 \mu_0 \frac{\partial \vec{E}}{\partial t}\right) = \epsilon_0 \mu_0 \frac{\partial}{\partial t}(\vec{\operatorname{rot}} \vec{E})$$

$$\text{soit : } -\vec{\nabla}^2 \vec{B} = \epsilon_0 \mu_0 \frac{\partial}{\partial t}\left(-\frac{\partial \vec{B}}{\partial t}\right)$$

$$\text{ou : } \boxed{\vec{\nabla}^2 \vec{B} - \mu_0 \epsilon_0 \frac{\partial^2 \vec{B}}{\partial t^2} = \vec{0}}$$

$$3^{\circ}) \quad \begin{cases} \vec{E}_0 = E_{0x} \vec{e}_x + E_{0y} \vec{e}_y + E_{0z} \vec{e}_z \\ \vec{B}_0 = B_{0x} \vec{e}_x + B_{0y} \vec{e}_y + B_{0z} \vec{e}_z \end{cases} \quad \text{et} \quad \vec{E}(x,t) = \vec{E}_0 \cos\left(\omega(t - \frac{x}{c})\right)$$

$$\vec{B}(x,t) = \vec{B}_0 \cos\left(\omega(t - \frac{x}{c})\right)$$

S'agissant de fonction de type $f(t - \frac{x}{c})$ pour la phase, celle-ci avance dans la direction x . Donc la direction de propagation est donnée par \vec{C}_x .

$E_{0x}, E_{0y}, E_{0z}, B_{0x}, B_{0z}$ étant à part entier des constantes, les champs vectoriels \vec{E} et \vec{B} sont uniformes dans des plans ($x = C_0 t$) (plans équiphases ici) perpendiculaires à la direction \vec{C}_x de propagation \Rightarrow onde plane.

Progressive : déjà dit!

monochromatique en harmonique : fréquence en multiple de ω_L .

c: vitesse de propagation de la phase. Si deux instants $t_2 > t_1$ successifs donnent la m^e valeur de phase alors:

$$\varphi\left(\frac{x_1}{c} - t_1\right) = \varphi\left(\frac{x_2}{c} - t_2\right) \Rightarrow \frac{x_1}{c} - t_1 = \frac{x_2}{c} - t_2$$

(au delà de la périodicité de la fonction sinusoidale)

$$\Rightarrow c = \frac{x_2 - x_1}{t_2 - t_1} \Rightarrow \text{l'onde s'est déplacée de } (x_2 - x_1) \text{ sur la durée } (t_2 - t_1).$$

\vec{k} doit avoir la direction et le sens de propagation et la phase doit s'écrire pour 1 OPPH : $\varphi = \vec{k} \cdot \vec{r} - \omega t$
ou $\omega t - \vec{k} \cdot \vec{r}$.

Choisissons: $\varphi = \omega t - \vec{k} \cdot \vec{r}$ ici $\varphi = \omega t - \frac{\omega x}{c}$

$$\text{donc: } \vec{k} \cdot \vec{r} = \begin{vmatrix} k_x & | & x \\ k_y & | & y \\ k_z & | & z \end{vmatrix} = \frac{\omega x}{c}$$

$$\text{donc: } k_x = \frac{\omega}{c}, k_y = k_z = 0 \Rightarrow \boxed{\vec{k} = \frac{\omega}{c} \hat{x}}$$

4°) Vérification de l'équation de d'Alembert pour cette OPPH :

$$\text{Pour } \vec{E}: \vec{\nabla} \vec{E} = (\Delta E_x) \hat{x} + (\Delta E_y) \hat{y} + (\Delta E_z) \hat{z} = \Delta E_y \hat{y} + \Delta E_z \hat{z}.$$

$$\text{avec } E_y = E_{0y} \cos\left(\omega t - \frac{\omega x}{c}\right) \text{ et } \Delta E_y = \frac{\partial^2 E_y}{\partial x^2} = \frac{\partial^2 E_y}{\partial y^2}, \frac{\partial^2 E_y}{\partial z^2}. \\ E_z = E_{0z} \cos\left(\omega t - \frac{\omega x}{c}\right) \text{ donne ici } \frac{\partial^2 E_y}{\partial x^2} = -\left(\frac{\omega^2}{c^2}\right) E_y.$$

not: $\boxed{\nabla t, \nabla r}$

$$\begin{cases} -\left(\frac{\omega^2}{c^2}\right) E_{0y} \cos\left(\omega t - \frac{\omega x}{c}\right) - \mu_0 \epsilon_0 (-\omega^2) E_{0y} \cos\left(\omega t - \frac{\omega x}{c}\right) = 0 \\ -\left(\frac{\omega^2}{c^2}\right) E_{0z} \cos\left(\omega t - \frac{\omega x}{c}\right) - \mu_0 \epsilon_0 (-\omega^2) E_{0z} \cos\left(\omega t - \frac{\omega x}{c}\right) = 0 \end{cases}$$

possible n^e et seulement si: $\boxed{c = \sqrt{\mu_0 \epsilon_0}}$

(idem pour \vec{B} par analogie des termes posants)

5°) En cartesiennes: $\nabla \vec{E} = \begin{vmatrix} \frac{\partial}{\partial x} & | & E_x = 0 \text{ ici} \\ \frac{\partial}{\partial y} & | & E_y \\ \frac{\partial}{\partial z} & | & E_z \end{vmatrix} = \begin{cases} 0 \\ -\frac{\partial E_y}{\partial x} = -\frac{\omega}{c} E_{0y} \sin\left(\omega t - \frac{\omega x}{c}\right) \\ \frac{\partial E_y}{\partial x} = +\frac{\omega}{c} E_{0y} \sin\left(\omega t - \frac{\omega x}{c}\right) \end{cases}$

$$\text{not: } + \frac{\partial B_y}{\partial r} = +\frac{\omega}{c} E_{0y} \sin\left(\omega t - \frac{\omega x}{c}\right) \Rightarrow B_y = -\frac{1}{c} E_{0y} \cos\left(\omega t - \frac{\omega x}{c}\right) \quad \text{(1^{er} onde)}$$

$$\text{idem: } -\frac{\partial B_z}{\partial r} = \frac{\omega}{c} E_{0y} \sin\left(\omega t - \frac{\omega x}{c}\right) \Rightarrow B_z = +\frac{1}{c} E_{0y} \cos\left(\omega t - \frac{\omega x}{c}\right) \quad \text{(2^{nde} onde)}$$

On vérifie que les champs \vec{E} et \vec{B} sont perpendiculaires entre eux en opérant le produit scalaire :

$$\vec{E} \cdot \vec{B} = \begin{vmatrix} 0 & 0 \\ E_0 \cos(wt - \frac{wx}{c}) & -\frac{1}{c} E_0 \sin(wt - \frac{wx}{c}) \\ E_0 \sin(wt - \frac{wx}{c}) & +\frac{1}{c} E_0 \cos(wt - \frac{wx}{c}) \end{vmatrix} = 0$$

$$\text{et } \|\vec{E}\| = \sqrt{E_{0y}^2 + E_{0z}^2} |\cos(wt - \frac{wx}{c})|$$

$$\text{et } \|\vec{B}\| = \sqrt{\left(\frac{E_{0z}}{c}\right)^2 + \left(\frac{E_{0y}}{c}\right)^2} |\cos(wt - \frac{wx}{c})|$$

$$\text{donc } \frac{1}{\mu_0} \epsilon R = \frac{\|\vec{B}\|}{\|\vec{E}\|} = \frac{1}{c}$$

6%) $R = \frac{\vec{E} \cdot \vec{B}}{\mu_0}$ → densité volumique de courant d'énergie
électromagnétique
ou bien : puissance (locale et instantanée)
moyennée par l'onde
par m^2 .

$$\|R\| \text{ s'exprime en } \text{W/m}^2.$$

$$2) R = \frac{\vec{E} \cdot \vec{B}}{\mu_0} = \frac{1}{\mu_0} \begin{vmatrix} 0 & 0 \\ E_{0y} & B_y \\ E_z & B_z \end{vmatrix} = \frac{(E_y B_z - E_z B_y)}{\mu_0} \vec{e}_x$$

$$R = \left(\frac{E_{0y}^2}{\mu_0 c} \cos^2(wt - \frac{wx}{c}) + \frac{E_{0z}^2}{\mu_0 c} \cos^2(wt - \frac{wx}{c}) \right) \vec{e}_x$$

$$\text{avec } E_0^2 \equiv E_{0y}^2 + E_{0z}^2$$

$$R = \frac{E_0^2}{\mu_0 c} \cos^2(wt - \frac{wx}{c}) \vec{e}_x$$

$$\text{et pour écrire } \mu_0 : R = \epsilon_0 c E_0^2 \cos^2(wt - \frac{wx}{c}) \vec{e}_x$$

$$\text{Moyenne d'}\frac{1}{2} \cos^2 = \frac{1}{2} \text{ sur } 1 \text{ nombre entier de périodes}.$$

$$\Rightarrow \langle R \rangle = \frac{\epsilon_0 c E_0^2}{2} \vec{e}_x$$

DEUXIÈME PARTIE : réflexion d'un Onde en incidence normale.

$$\vec{E}_i = E_0 \cos(wt - kx) \vec{e}_y$$

7%) La direction de polarisation est la direction de \vec{E} soit \vec{e}_y
(cette onde est polarisée rectilignement)

Q) 1] On nous donne: $\vec{E}_2 - \vec{E}_1 = \frac{\sigma}{\epsilon_0} \vec{m}_2$ (2) le métal parfait
(1) le vide

ainsi $\vec{E}_{\text{vide}} = \vec{E}_i + \vec{E}_n$

doit vérifier $-\vec{E}_{i(0^-)} - \vec{E}_{n(0^-)} = \frac{\sigma}{\epsilon_0} \vec{e}_n$

soit:

$$\begin{cases} 0 - \vec{E}_{nx(0^-)} = \frac{\sigma}{\epsilon_0} & (\Rightarrow \sigma = 0 \text{ sinon } \omega \text{ proportionnel}) \\ -E_{0 \text{ rotat}} + \vec{E}_{ny(0^-)} = 0 \\ 0 - \vec{E}_{nz(0^-)} = 0 \end{cases}$$

Ainsi \vec{E}_n n'a qu'une composante sur \vec{e}_y en $x=0^-$

$$E_{ny(0^-)} = -E_0 \cos(\omega t)$$

Et comme l'onde réfléchie doit se propager (d'après les lois vues en optique scalaire) dans la direction $-\vec{e}_n$ alors elle s'écrit de manière régressive:

$$\Rightarrow \vec{E}_r = -E_0 \cos(\omega t + \hbar x) \vec{e}_y$$

(ou $\vec{E}_{0r} = -\vec{e}_0 \vec{e}_y$) (expression proposée dans l'énoncé).

2) Ainsi il faudrait refaire: $\vec{n} \cdot \vec{B} = -\frac{\partial \vec{E}}{\partial t}$ comme dans la question 5 de la première partie ?!

→ cas particulier de la question 5 où le tenseur non nul du rotatormel est: E_{0ij} . donc $B_{0ij} = \frac{E_{0ij}}{c} \cos(\omega t - \hbar x)$

$$\text{et } B_{0ry} = -\frac{E_{0ry}}{c} \cos(\omega t + \hbar x).$$

ainsi:

$$\begin{cases} \vec{B}_{0i} = \frac{E_{0ij}}{c} \vec{e}_j = +\frac{E_0}{c} \vec{e}_y \\ \vec{B}_{0r} = -\frac{E_{0ry}}{c} \vec{e}_y = +\frac{E_0}{c} \vec{e}_y \end{cases}$$

3) $\vec{E} = \vec{E}_i + \vec{E}_n = E_0 \vec{e}_y (\cos(\omega t - \hbar x) - \cos(\omega t + \hbar x)) = -2E_0 \vec{e}_y \sin(\omega t) \sin(-\hbar x)$
 $\underline{[\vec{E} = 2E_0 \sin(\omega t) \sin(-\hbar x) \vec{e}_y]}$

$$\underline{[\vec{B} = \vec{B}_i + \vec{B}_n = \frac{E_0}{c} \vec{e}_y (\cos(\omega t - \hbar x) + \cos(\omega t + \hbar x)) = \frac{2E_0}{c} \cos(\omega t) \cos(\hbar x) \vec{e}_y]}$$

S'agissant de formes $f(x)g(t)$ ce sont des ondes stationnaires.